

流路弯曲部における土石流の流动について

京都大学防災研究所 正員 芦田和男
 京都大学防災研究所 正員 高橋 保
 名城大学 理工学部 正員 ○新井宗之
 京都大学 工学部 学員 ハ木秀樹

1. はじめに：流路弯曲部における射流の水面形、特に弯曲部外岸の水深を推定することは流路工の防災設計上重要である。従来これには Knapp¹⁾ の式が用いられて来たが、計算値が測定値より大きな値を示す傾向がある。また、流れが土砂を多量に含んでいる場合についてはほとんど明らかにされていない。ここでは C.W.Lenau の式をもとにして、外岸の平均水深、横断水面形、転波列を考慮した外岸の最高水位について、流れが高濃度の場合についても考察した。

2. 実験条件・方法：長さ 17m の直線水路と 45° の曲りを持つ弯曲部の水路とからなる幅 20cm の実験水路を用いた。弯曲部の河床は流下方向に 10° 半径方向には水平になるように設定した。実験材料は 0.15mm の珪砂 7 号と 3mm の粒状大理石とを 1:1 に混合した土砂を用いた。単位体積重量はいずれも 2.65 g/cm³ である。実験条件は容積濃度； 0, 0.2, 0.4, 流量； 1, 2, 3 l/s, 弯曲部水路の中心曲率半径； 40, 60, 100 cm である。水面の測定には 16 ミリシネカメラ、35 ミリカメラ、ボイントゲージを併用した。

表-1

実験条件		
容積濃度	流量 l/s	曲率半径 cm
0	1	40
0.2	2	60
0.4	3	100

- 粒状大理石 (3mm)
 - 硅砂 7 号 (0.15mm)
- { 1:1

3. 考察：

3-1 Lenau 式：C.W.Lenau は台形断面及び矩形断面の弯曲部における射流の水面形を解析した²⁾。円筒座標系で、エネルギー式、連続式及び自由渦の条件式を矩形断面について

$$\frac{V_r^2 + V_\theta^2}{2g} + h = \frac{U^2}{2g} + h_0 \quad \dots (1) \quad \frac{\partial(hV_r)}{\partial r} + \frac{\partial(hV_\theta)}{\partial \theta} = 0$$

$$\frac{\partial V_r}{\partial \theta} = \frac{\partial(rV_\theta)}{\partial r} \quad \dots (2)$$

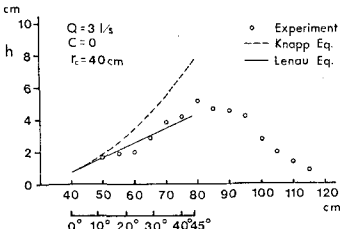
のように書き、 $\varepsilon = \frac{h}{h_0}$ に関する一次摂動解として次式を得た。

$$h = h_0 + E \quad \dots (4)$$

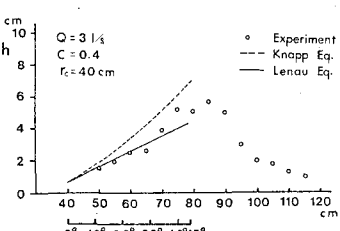
$$E = \frac{U h_0^2}{g h_0 r_0} \sum_{k=0}^{\infty} (-1)^k \left\{ \delta [x - R_0(k_p + \frac{1}{2} p - y)] - \delta [x - R_0(k_p + \frac{1}{2} p + y)] \right\} \quad \dots (5)$$

ここで、 $x = r_0 \theta / h_0$, $y = (r - r_0) / h_0$, $p = b / h_0$, $R_0 = U / \sqrt{gh_0}$, U : $\theta = 0$ における流速, r_0 : 水路各の中心曲率半径, h_0 : $\theta = 0$ における水深, b : 水路幅, g : 重力加速度, E : 水深の変化分, h : 水深である。また $\delta(t)$ は $\delta(t) = 0$ ($t \leq 0$), $\delta(t) = t$ ($t > 0$) を与える関数である。

3-2 外岸水深：外岸水深は濃度が高くなると若干高くなる傾向があるが、顕著な差は認められず、砂と微細砂の合



(a)



(b)

図-1 外岸水深の変化

計濃度が 0.4 まではほぼ“清水と同じように取りあつかうことができる”と考えられる。曲率半径 $r_c = 40\text{ cm}$, 流下流量 $Q = 3 \text{ l/s}$ で容積濃度 $C = 0$ 及び 0.4 の実験値、計算値が図-1(a), (b) に示されている。ただし横軸の長さは外岸に沿って測ったものである。外岸水深は転波列により大きく変動する。図-1に示されている水深は転波列を除いた部分の平均値である。図中の実線は Lenau 式(3), (4) による計算値であり、破線が Knapp による計算値である。Knapp による計算値は実測値より大きな値になる傾向がある。Lenau の式による計算値は濃度 $C = 0 \sim 0.4$ で比較的よく一致している。またフルード数が 1 に近くなると Knapp の式の適用範囲の弯曲角が非常に小さくなるのに対して、Lenau の式では制約を受けない。

3-3 横断水面形: $Q = 1 \text{ l/s}$, $C = 0$, $r_c = 40\text{ cm}$ での Lenau 式による計算値と実測値の比較例が図-2 に示されている。よく一致している。

3-4 Shock Wave とはく離: 図-2 の水面形において河床と平行な水面が不連続に上昇をはじめる点がある。この点を Lenau 式(3), (4) によって計算すると図-3 の △ である。外岸側の実線は実測の Shock Wave の線である。これもよく一致している。ただし、濃度が 0.4 程度になると Shock Wave が顕著に生じなくなる。また図-2 において水面が河床と一致している位置も計算できる。この計算結果は図-3 の □ で示した。内岸側の実線が測定値であり、■の部分は河床が露出している部分である。

3-5 転波列による水深変化: 流れには転波列が生じるため水深が大きく変化する。転波列を除いた水深を h とし、転波列による水深の変化量を h_w とすれば外岸の水深 H は $H = h + h_w \dots (6)$ である。 h_w を Lenau 式を用いて計算するがその際流速としては平均流に対するものを用いる。波高の大きい方から約 $1/3$ の平均を \bar{H} で示し、それに応する H の計算値を一点破線とすると図-4(a), (b) のようになり、計算値と実測値は比較的よく一致している。

4. おわりに: 自由渦仮定を用いた Lenau 式が“Shock Wave”概念による Knapp の式よりも適用性のよいこと、水面形の横断分布等もうまく計算できることがわかった。流动特性に対する土砂濃度の影響については実験範囲では清水のそれと顕著な差はないが、たが、も、と高濃度について確かめる必要がある。

参考文献 1) R.T. Knapp; Design of Channel Curves for Supercritical Flow, Transactions of ASCE, Vol.116, 1951, pp.296-325, 2) C.W. Lenau; Supercritical Flow in Bends of Trapezoidal Section ASCE, EM 1, FEB., 1979, pp.43-54.

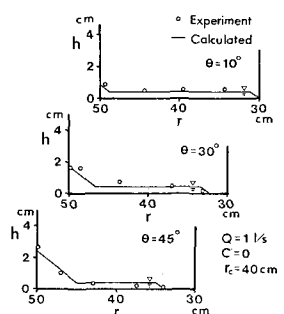


図-2 横断水面形

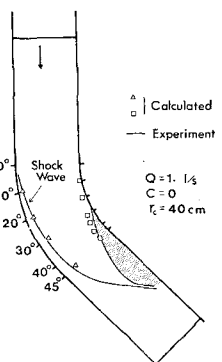
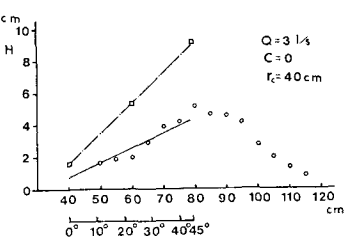
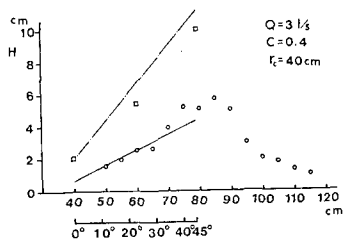


図-3 Shock Wave とはく離



(a)



(b)

図-4 転波列による外岸水深変化